

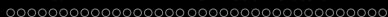


Real Time Global Illumination

Audric Schiltknecht

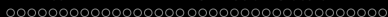
Université de Montréal

27 Novembre 2009



Outline

- 1 Introduction
- 2 KD-Tree
 - Principe
 - Construction
 - Construction sur GPU
 - Photon Mapping
 - K-Nearest Neighbor Search
 - Résultats
- 3 Illumination Globale
 - Idée
 - KD-Tree
 - Irradiance Sampling
 - Illumination cut
 - Sample, interpolation et rendering
- 4 Conclusion



Plan

- 1 Introduction
- 2 KD-Tree
 - Principe
 - Construction
 - Construction sur GPU
 - Photon Mapping
 - K-Nearest Neighbor Search
 - Résultats
- 3 Illumination Globale
 - Idée
 - KD-Tree
 - Irradiance Sampling
 - Illumination cut
 - Sample, interpolation et rendering
- 4 Conclusion

Objectifs

- Illumination globale



Objectifs

- Illumination globale
- Gestion de multiples effets (caustiques, rebonds multiples, réflexions *glossy*, etc.)



Objectifs

- Illumination globale
- Gestion de multiples effets (caustiques, rebonds multiples, réflexions *glossy*, etc.)
- Rendu sur GPU



Objectifs

- Illumination globale
- Gestion de multiples effets (caustiques, rebonds multiples, réflexions *glossy*, etc.)
- Rendu sur GPU
- Optimisé pour du temps réel (interactions de l'utilisateur : changement de la géométrie, lumière(s), matériaux, etc)



État de l'art

- Algorithmes déjà existants, mais calculs sur CPU \implies temps de rendu long



État de l'art

- Algorithmes déjà existants, mais calculs sur CPU \implies temps de rendu long
- Algorithmes sur GPU existants, mais seulement pour certains effets :
 - [SA07] : global shadow effects
 - [Kel97], [DS05] : éclairage indirect avec un seul rebond

État de l'art

- Algorithmes déjà existants, mais calculs sur CPU \implies temps de rendu long
- Algorithmes sur GPU existants, mais seulement pour certains effets :
 - [SA07] : global shadow effects
 - [Kel97], [DS05] : éclairage indirect avec un seul rebond
- [ZHWG08] : caustiques interactives et réflexion spéculaire. Le plus « complet »



Plan

- 1 Introduction
- 2 **KD-Tree**
 - Principe
 - Construction
 - Construction sur GPU
 - Photon Mapping
 - K-Nearest Neighbor Search
 - Résultats
- 3 Illumination Globale
 - Idée
 - KD-Tree
 - Irradiance Sampling
 - Illumination cut
 - Sample, interpolation et rendering
- 4 Conclusion

Préliminaires

Définition

Regroupement de points par partitionnement de l'espace

Les kd-Tree sont des BSPs particuliers.

Préliminaires

Définition

Regroupement de points par partitionnement de l'espace

Les kd-Tree sont des BSPs particuliers.

- Arbres binaires

Préliminaires

Définition

Regroupement de points par partitionnement de l'espace

Les kd-Tree sont des BSPs particuliers.

- Arbres binaires
- Noeuds sont des k -points

Préliminaires

Définition

Regroupement de points par partitionnement de l'espace

Les kd-Tree sont des BSPs particuliers.

- Arbres binaires
- Noeuds sont des k -points
- Alignés avec les axes

Préliminaires

Définition

Regroupement de points par partitionnement de l'espace

Les kd-Tree sont des BSPs particuliers.

- Arbres binaires
- Noeuds sont des k -points
- Alignés avec les axes
- À chaque branchement, génération d'un hyperplan , qui divise l'espace en deux

Exemple de construction - Étape 1

Exemple

Soit la liste suivante à ranger dans un *kd-Tree* :
[(2, 3), (5, 4), (9, 6), (4, 7), (8, 1), (7, 2)]

Axe X

Exemple de construction - Étape 1

Exemple

Soit la liste suivante à ranger dans un *kd-Tree* :

$[(2, 3), (5, 4), (9, 6), (4, 7), (8, 1), (7, 2)]$

Axe X

Liste triée :

$[(2, 3), (4, 7), (5, 4), (7, 2), (8, 1), (9, 6)]$

Exemple de construction - Étape 1

Exemple

Soit la liste suivante à ranger dans un *kd-Tree* :

$[(2, 3), (5, 4), (9, 6), (4, 7), (8, 1), (7, 2)]$



Axe X

Liste triée :

$[(2, 3), (4, 7), (5, 4), (7, 2), (8, 1), (9, 6)]$

Point médian $(7, 2)$

Exemple de construction - Étape 1

Exemple

Soit la liste suivante à ranger dans un *kd-Tree* :

$[(2, 3), (5, 4), (9, 6), (4, 7), (8, 1), (7, 2)]$



Axe X

Liste triée :

$[(2, 3), (4, 7), (5, 4), (7, 2), (8, 1), (9, 6)]$

Point médian $(7, 2)$

Sous-listes

Gauche $[(2, 3), (4, 7), (5, 4)]$

Droite $[(8, 1), (9, 6)]$

Exemple de constructioni - Étape 2

Exemple

Soit la liste suivante à ranger dans un *kd-Tree* :

$[(2, 3), (5, 4), (9, 6), (4, 7), (8, 1), (7, 2)]$

Fils gauche : $[(2, 3), (4, 7), (5, 4)]$.



Exemple de constructioni - Étape 2

Exemple

Soit la liste suivante à ranger dans un *kd-Tree* :

$[(2, 3), (5, 4), (9, 6), (4, 7), (8, 1), (7, 2)]$



Fils gauche : $[(2, 3), (4, 7), (5, 4)]$.

Axe Y

Exemple de constructioni - Étape 2

Exemple

Soit la liste suivante à ranger dans un *kd-Tree* :

$[(2, 3), (5, 4), (9, 6), (4, 7), (8, 1), (7, 2)]$

(7,2)

Fils gauche : $[(2, 3), (4, 7), (5, 4)]$.

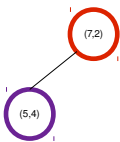
Axe Y

Liste triée $[(2, 3), (5, 4), (4, 7)]$

Exemple de constructioni - Étape 2

Exemple

Soit la liste suivante à ranger dans un *kd-Tree* :
[(2, 3), (5, 4), (9, 6), (4, 7), (8, 1), (7, 2)]



Fils gauche : [(2, 3), (4, 7), (5, 4)].

Axe Y

Liste triée [(2, 3), (5, 4), (4, 7)]

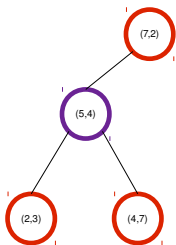
Point médian (5, 4)

Exemple de constructioni - Étape 2

Exemple

Soit la liste suivante à ranger dans un *kd-Tree* :

$[(2, 3), (5, 4), (9, 6), (4, 7), (8, 1), (7, 2)]$



Fils gauche : $[(2, 3), (4, 7), (5, 4)]$.

Axe Y

Liste triée $[(2, 3), (5, 4), (4, 7)]$

Point médian $(5, 4)$

Sous-listes Gauche $[(2, 3)]$

 Droite $[(4, 7)]$

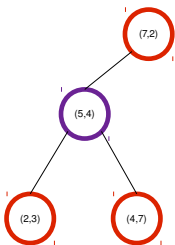
Exemple de construction - Étape 3

Exemple

Soit la liste suivante à ranger dans un *kd-Tree* :

$[(2, 3), (5, 4), (9, 6), (4, 7), (8, 1), (7, 2)]$

Fils droit : $[(8, 1), (9, 6)]$.



Exemple de construction - Étape 3

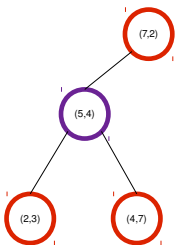
Exemple

Soit la liste suivante à ranger dans un *kd-Tree* :

$[(2, 3), (5, 4), (9, 6), (4, 7), (8, 1), (7, 2)]$

Fils droit : $[(8, 1), (9, 6)]$.

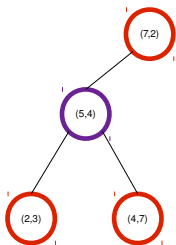
Axe Y



Exemple de construction - Étape 3

Exemple

Soit la liste suivante à ranger dans un *kd-Tree* :
[(2, 3), (5, 4), (9, 6), (4, 7), (8, 1), (7, 2)]



Fils droit : [(8, 1), (9, 6)].

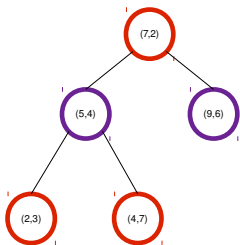
Axe Y

Liste triée [(8, 1), (9, 6)]

Exemple de construction - Étape 3

Exemple

Soit la liste suivante à ranger dans un *kd-Tree* :
[(2, 3), (5, 4), (9, 6), (4, 7), (8, 1), (7, 2)]



Fils droit : [(8, 1), (9, 6)].

Axe Y

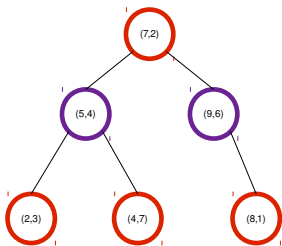
Liste triée [(8, 1), (9, 6)]

Point médian (9, 6)

Exemple de construction - Étape 3

Exemple

Soit la liste suivante à ranger dans un *kd-Tree* :
 $[(2, 3), (5, 4), (9, 6), (4, 7), (8, 1), (7, 2)]$



Fils droit : $[(8, 1), (9, 6)]$.

Axe Y

Liste triée $[(8, 1), (9, 6)]$

Point médian $(9, 6)$

Sous-listes Gauche $[(8, 1)]$

Construction de *kd-Tree* sur le GPU

Objectif

Améliorer la construction de *kd-Tree* pour l'effectuer sur le **GPU** et profiter de son fort parallélisme.

- Construction en *BFS* : adapté au GPU
 - Différenciation noeuds :
 - Large Proche de la racine
 - Petit Proche des feuilles
- seuil défini par l'utilisateur (nombre de triangles dans le noeud)

Principe

On utilise la description de [ZHWG08], utilisée pour la construction de *kd-Tree* contenant des triangles, en vu de réaliser un *ray-tracer*.

- 1 Evaluer le coût de chaque plan de découpe
- 2 Choisir celui dont le coût est le plus faible
- 3 Repartir les triangles entre les deux sous-plans



Large Nodes

On applique l'algorithme suivant à une liste de *large nodes* (la racine pour l'initialisation) :

Large Nodes

On applique l'algorithme suivant à une liste de *large nodes* (la racine pour l'initialisation) :

- Groupement des triangles en *chunk* de taille fixe
- Pour chaque *chunk* (en parallèle) :
 - Calcul de la boîte englobante du *chunk*



Large Nodes

On applique l'algorithme suivant à une liste de *large nodes* (la racine pour l'initialisation) :

- Groupement des triangles en *chunk* de taille fixe
- Pour chaque *chunk* (en parallèle) :
 - Calcul de la boîte englobante du *chunk*
- Calcul de la boîte englobante du noeud
- Pour chacun des noeuds en entrée (en parallèle) :

Large Nodes

On applique l'algorithme suivant à une liste de *large nodes* (la racine pour l'initialisation) :

- Groupement des triangles en *chunk* de taille fixe
- Pour chaque *chunk* (en parallèle) :
 - Calcul de la boîte englobante du *chunk*
- Calcul de la boîte englobante du noeud
- Pour chacun des noeuds en entrée (en parallèle) :
 - Suppression de l'espace vide (par rapport à un seuil défini)



Large Nodes

On applique l'algorithme suivant à une liste de *large nodes* (la racine pour l'initialisation) :

- Groupement des triangles en *chunk* de taille fixe
- Pour chaque *chunk* (en parallèle) :
 - Calcul de la boîte englobante du *chunk*
- Calcul de la boîte englobante du noeud
- Pour chacun des noeuds en entrée (en parallèle) :
 - Suppression de l'espace vide (par rapport à un seuil défini)
 - *Split* suivant le plan médian (orienté suivant le plus grand axe) et ajout à la liste des suivants

Large Nodes

On applique l'algorithme suivant à une liste de *large nodes* (la racine pour l'initialisation) :

- Groupement des triangles en *chunk* de taille fixe
- Pour chaque *chunk* (en parallèle) :
 - Calcul de la boîte englobante du *chunk*
- Calcul de la boîte englobante du noeud
- Pour chacun des noeuds en entrée (en parallèle) :
 - Suppression de l'espace vide (par rapport à un seuil défini)
 - *Split* suivant le plan médian (orienté suivant le plus grand axe) et ajout à la liste des suivants
- Calcul du nombre de triangle dans les noeuds créés (tri *large/small*)

Large Nodes

On applique l'algorithme suivant à une liste de *large nodes* (la racine pour l'initialisation) :

- Groupement des triangles en *chunk* de taille fixe
- Pour chaque *chunk* (en parallèle) :
 - Calcul de la boîte englobante du *chunk*
- Calcul de la boîte englobante du noeud
- Pour chacun des noeuds en entrée (en parallèle) :
 - Suppression de l'espace vide (par rapport à un seuil défini)
 - *Split* suivant le plan médian (orienté suivant le plus grand axe) et ajout à la liste des suivants
- Calcul du nombre de triangle dans les noeuds créés (tri *large/small*)

Itération sur suivants tant que tous les noeuds ne sont pas considérés comme « petits ».

Coût du split

Utilisation d'une fonction d'estimation du coût de split.

Surface Area Heuristic

$$\text{SAH}(x) = C_{ts} + \frac{C_L(x)A_L(x)}{A} + \frac{C_R(x)A_R(x)}{A}$$

avec :

C_{ts} = coût de la traversée du noeud (constante)

$C_i(x)$ = coût du fils i de x (gauche ou droite)

$A_i(x)$ = surface du fils i de x

A = surface du noeud

On prendra souvent $C_i(x) =$ nombre de triangles dans le fils i de x .



Split des *small nodes*

Cet algorithme prend en entrée une liste de noeud à diviser.



Split des *small nodes*

Cet algorithme prend en entrée une liste de noeud à diviser.

- Pour chacun des noeuds n en entrée (en parallèle)

Split des *small nodes*

Cet algorithme prend en entrée une liste de noeud à diviser.

- Pour chacun des noeuds n en entrée (en parallèle)
 - $S_0 \leftarrow$ nombres de noeuds dans n (coût du noeud).
 - Pour chacun des plans j candidats pour la division (en parallèle) :



Split des *small nodes*

Cet algorithme prend en entrée une liste de noeud à diviser.

- Pour chacun des noeuds n en entrée (en parallèle)
 - $S_0 \leftarrow$ nombres de noeuds dans n (coût du noeud).
 - Pour chacun des plans j candidats pour la division (en parallèle) :
 - Calculer $\text{SAH}(j)$

Split des *small nodes*

Cet algorithme prend en entrée une liste de noeud à diviser.

- Pour chacun des noeuds n en entrée (en parallèle)
 - $S_0 \leftarrow$ nombres de noeuds dans n (coût du noeud).
 - Pour chacun des plans j candidats pour la division (en parallèle) :
 - Calculer $SAH(j)$
- $p \leftarrow$ meilleur candidat (celui de coût le plus faible)

Split des *small nodes*

Cet algorithme prend en entrée une liste de noeud à diviser.

- Pour chacun des noeuds n en entrée (en parallèle)
 - $S_0 \leftarrow$ nombres de noeuds dans n (coût du noeud).
 - Pour chacun des plans j candidats pour la division (en parallèle) :
 - Calculer $SAH(j)$
- $p \leftarrow$ meilleur candidat (celui de coût le plus faible)
- Si $p > S_0$:
 - Marquage de n comme feuille

Split des *small nodes*

Cet algorithme prend en entrée une liste de noeud à diviser.

- Pour chacun des noeuds n en entrée (en parallèle)
 - $S_0 \leftarrow$ nombres de noeuds dans n (coût du noeud).
 - Pour chacun des plans j candidats pour la division (en parallèle) :
 - Calculer $SAH(j)$
- $p \leftarrow$ meilleur candidat (celui de coût le plus faible)
- Si $p > S_0$:
 - Marquage de n comme feuille
- Sinon :
 - Split suivant p
 - Ajout des fils à la liste des suivants



Split des *small nodes*

Cet algorithme prend en entrée une liste de noeud à diviser.

- Pour chacun des noeuds n en entrée (en parallèle)
 - $S_0 \leftarrow$ nombres de noeuds dans n (coût du noeud).
 - Pour chacun des plans j candidats pour la division (en parallèle) :
 - Calculer $SAH(j)$
 - $p \leftarrow$ meilleur candidat (celui de coût le plus faible)
 - Si $p > S_0$:
 - Marquage de n comme feuille
 - Sinon :
 - Split suivant p
 - Ajout des fils à la liste des suivants

On itère cet algorithme tant que tous les suivants n'ont pas été marqués comme feuille.

Fonction de coût du *split*

Vortex Volume Heuristic

$$VVH(x) = C_{ts} + \frac{C_L(x)V(d_L(x)\pm R)}{V(d\pm R)} + \frac{C_R(x)V(d_R(x)\pm R)}{V(d\pm R)}$$

avec :

C_{ts} = coût de la traversée du noeud (constante)

$C_i(x)$ = coût du fils i de x (gauche ou droite)

$V(d_i(x) \pm R)$ = volume du fils i de x étendu de R

$V(d \pm R)$ = volume du noeud

R = rayon de recherche *KNN* estimé

On prendra souvent $C_i(x) =$ nombre de points dans le fils i de x .



Idée

- Recherche des k plus proches voisins (k n'est pas le même que dans *kd-Tree*!)



Idée

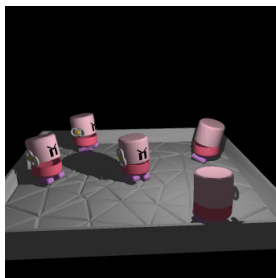
- Recherche des k plus proches voisins (k n'est pas le même que dans *kd-Tree*!)
- Parcours de l'arbre jusqu'au point de recherche



Idée

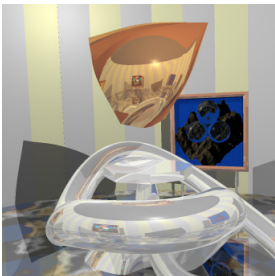
- Recherche des k plus proches voisins (k n'est pas le même que dans *kd-Tree*!)
- Parcours de l'arbre jusqu'au point de recherche
- Remontée dans l'arbre et collecte des voisins jusqu'au nombre désiré

Comparaison des performances - GPU Ray Tracer



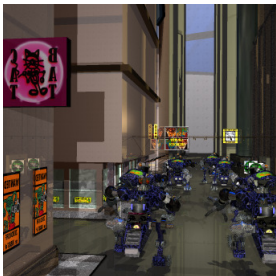
Scene	Nbre triangles	CPU	GPU	Speedup
Toys	11k	0.085s	0.012s	7

Comparaison des performances - GPU Ray Tracer



Scene	Nbre triangles	CPU	GPU	Speedup
Toys	11k	0.085s	0.012s	7
Museum	27k	0.108s	0.017s	6.3

Comparaison des performances - GPU Ray Tracer



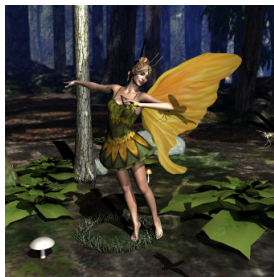
Scene	Nbre triangles	CPU	GPU	Speedup
Toys	11k	0.085s	0.012s	7
Museum	27k	0.108s	0.017s	6.3
Robots	71k	0.487s	0.039s	12.5

Comparaison des performances - GPU Ray Tracer



Scene	Nbre triangles	CPU	GPU	Speedup
Toys	11k	0.085s	0.012s	7
Museum	27k	0.108s	0.017s	6.3
Robots	71k	0.487s	0.039s	12.5
Kitchen	111k	0.559s	0.053s	10.5

Comparaison des performances - GPU Ray Tracer



Scene	Nbre triangles	CPU	GPU	Speedup
Toys	11k	0.085s	0.012s	7
Museum	27k	0.108s	0.017s	6.3
Robots	71k	0.487s	0.039s	12.5
Kitchen	111k	0.559s	0.053s	10.5
Fairy Forest	172k	1.226s	0.077s	16

Comparaison des performances - GPU Ray Tracer



Scene	Nbre triangles	CPU	GPU	Speedup
Toys	11k	0.085s	0.012s	7
Museum	27k	0.108s	0.017s	6.3
Robots	71k	0.487s	0.039s	12.5
Kitchen	111k	0.559s	0.053s	10.5
Fairy Forest	172k	1.226s	0.077s	16
Dragon	252k	1.354s	0.093s	14.6

Comparaison des performances - GPU Photon Mapping



Scene	Nbre triangles	FPS	CPU	GPU	Speedup
Anneau	3k	12.2	0.081s	0.009s	9

Comparaison des performances - GPU Photon Mapping



Scene	Nbre triangles	FPS	CPU	GPU	Speedup
Anneau	3k	12.2	0.081s	0.009s	9
Champagne	19k	7.5	0.237s	0.017s	13.9



Plan

- 1 Introduction
- 2 KD-Tree
 - Principe
 - Construction
 - Construction sur GPU
 - Photon Mapping
 - K-Nearest Neighbor Search
 - Résultats
- 3 **Illumination Globale**
 - Idée
 - KD-Tree
 - Irradiance Sampling
 - Illumination cut
 - Sample, interpolation et rendering
- 4 Conclusion

Équation du rendu

Équation de l'illumination [Kaj86]

$$L_o(x) = \rho(x) \int_{H^2} L_i(x, \vec{\omega}_i) (\vec{\omega}_i \cdot \vec{n}) d\vec{\omega}_i = \rho(x) E(x)$$

Avec :

$L_o(x)$ = radiance sortante au point x

$\rho(x)$ = BRDF au point x

$E(x)$ = irradiance au point x

$\vec{\omega}_i$ = direction incidente

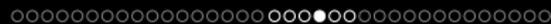
\vec{n} = normale

$L_i(x, \vec{\omega}_i)$ = radiance incidente au point x , de direction $\vec{\omega}_i$

En utilisant la technique de *Photon Mapping* ([Jen01]), on peut calculer le terme $E(x)$ en deux passes.

Photon mapping

- Lancer des photons depuis les sources lumineuses et les accumuler dans la *photon map*
- La radiance d'un point dans la scène (*hit point*) est fonction du nombre de photons dans son entourage



Sampling

Proposé dans [WZPB09] : réalisation d'un sampling :

Sampling

- Proposé dans [WZPB09] : réalisation d'un sampling :
- des hits points (*Irradiance caching*, [WRC88])

Pipeline

Pipeline

- 1 Construction d'un *kd-Tree* de la scène ([ZHWG08])

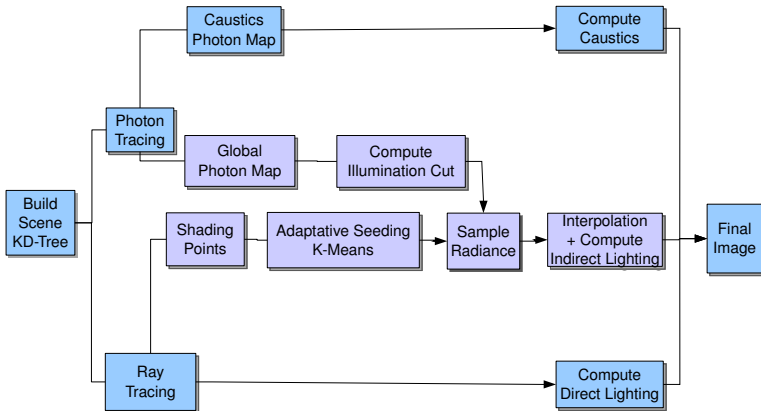
Pipeline

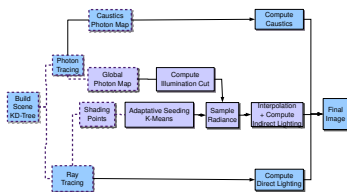
- 1 Construction d'un *kd-Tree* de la scène ([ZHWG08])
- 2 En parallèle :
 - Sélection d'un échantillonnage de *hit points*
 - Sélection d'un échantillonnage de la *photon map*.

Pipeline

- 1 Construction d'un *kd-Tree* de la scène ([ZHWG08])
- 2 En parallèle :
 - Sélection d'un échantillonnage de *hit points*
 - Sélection d'un échantillonnage de la *photon map*.
- 3 Calcul de l'irradiance par interpolation

Pipeline - Graphique

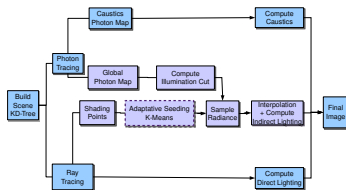


kd-Tree

- Calcul de *kd-Tree* en utilisant les méthodes décrites dans [ZHWG08].
- Réalisation des *Photon Map* :
 - Globale** Dernier rebond du photon sur une surface non spéculaire
 - Caustiques** Dernier rebond du photon sur une surface spéculaire

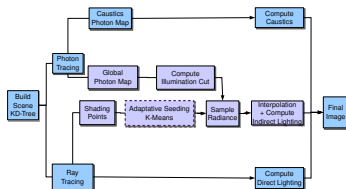


Principe



[WRC88] décrit le principe de l'*irradiance caching* :

Principe

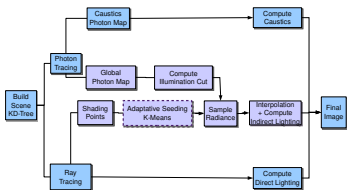


[WRC88] décrit le principe de l'*irradiance caching* :

- Illumination indirecte sur une surface varie doucement



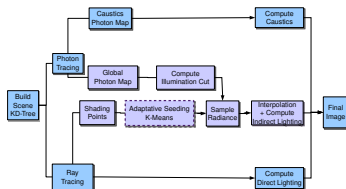
Principe



[WRC88] décrit le principe de l'*irradiance caching* :

- Illumination indirecte sur une surface varie doucement
- Création d'un cache d'irradiance

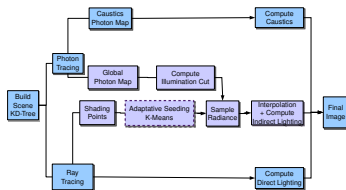
Principe



[WRC88] décrit le principe de l'*irradiance caching* :

- Illumination indirecte sur une surface varie doucement
- Création d'un cache d'irradiance
- Interpolation des valeurs du cache pour le calcul de l'irradiance d'un point

Principe



[WRC88] décrit le principe de l'*irradiance caching* :

- Illumination indirecte sur une surface varie doucement
- Création d'un cache d'irradiance
- Interpolation des valeurs du cache pour le calcul de l'irradiance d'un point

Problème

Choix du cache ?

Illumination Change term

« Prédire » les changements dans l'irradiance, en se basant sur la géométrie de la scène.

Fonction d'erreur

$$\epsilon_k(x_i) = \alpha \|x_i - x_k\| + \sqrt{2 - 2(\vec{n}_i \cdot \vec{n}_k)}$$

avec :

α = facteur de poids

n_i = normale de la surface au point x_i



Adaptive Seeding

Objectif

Distribution de k seeds dans la scène.



Adaptive Seeding

Objectif

Distribution de k seeds dans la scène.

- Découpage de la scène en *quadtree*

Adaptive Seeding

Objectif

Distribution de k seeds dans la scène.

- Découpage de la scène en *quadtree*
- Retrouver le *quadtree* contenant les *shading points*

Adaptive Seeding

Objectif

Distribution de k seeds dans la scène.

- Découpage de la scène en *quadtree*
- Retrouver le *quadtree* contenant les *shading points*
- Calcul de la normale et position moyenne de chacun des *quadtree* (en parallèle)



Adaptive Seeding

Objectif

Distribution de k seeds dans la scène.

- Découpage de la scène en *quadtree*
- Retrouver le *quadtree* contenant les *shading points*
- Calcul de la normale et position moyenne de chacun des *quadtree* (en parallèle)
- Pour chaque *shading point* x (en parallèle)
 - Calcul de $\epsilon_p(x)$, p étant le noeud contenant x dans le *quadtree*

Adaptive Seeding

Objectif

Distribution de k seeds dans la scène.

- Découpage de la scène en *quadtree*
- Retrouver le *quadtree* contenant les *shading points*
- Calcul de la normale et position moyenne de chacun des *quadtree* (en parallèle)
- Pour chaque *shading point* x (en parallèle)
 - Calcul de $\epsilon_p(x)$, p étant le noeud contenant x dans le *quadtree*
- Pour chaque noeud p dans le *quadtree* (en parallèle)
 - Calcul de l'erreur ϵ_p comme moyenne des $\epsilon_x, x \in p$

Adaptive Seeding

Objectif

Distribution de k seeds dans la scène.

- Découpage de la scène en *quadtree*
- Retrouver le *quadtree* contenant les *shading points*
- Calcul de la normale et position moyenne de chacun des *quadtree* (en parallèle)
- Pour chaque *shading point* x (en parallèle)
 - Calcul de $\epsilon_p(x)$, p étant le noeud contenant x dans le *quadtree*
- Pour chaque noeud p dans le *quadtree* (en parallèle)
 - Calcul de l'erreur ϵ_p comme moyenne des $\epsilon_x, x \in p$

⇒ Distribution des k seeds dans le *quadtree* en fonction de la valeur ϵ_q



Clustering

Répartition des points en k *clusters* : les points sont rangés dans le cluster le plus « proche », considéré au sens de la fonction d'erreur vu précédemment.



Clustering

Répartition des points en k *clusters* : les points sont rangés dans le cluster le plus « proche », considéré au sens de la fonction d'erreur vu précédemment.

- Définition des centres des clusters comme étant les points *seeds*
- Tant qu'il n'y a pas convergence, ou nombre d'itérations est sous le seuil défini :

Clustering

Répartition des points en k *clusters* : les points sont rangés dans le cluster le plus « proche », considéré au sens de la fonction d'erreur vu précédemment.

- Définition des centres des clusters comme étant les points *seeds*
- Tant qu'il n'y a pas convergence, ou nombre d'itérations est sous le seuil défini :
 - Construction d'un *kd-Tree* à partir de la liste des clusters



Clustering

Répartition des points en k clusters : les points sont rangés dans le cluster le plus « proche », considéré au sens de la fonction d'erreur vu précédemment.

- Définition des centres des clusters comme étant les points *seeds*
- Tant qu'il n'y a pas convergence, ou nombre d'itérations est sous le seuil défini :
 - Construction d'un *kd-Tree* à partir de la liste des clusters
 - Pour chaque *shading point* i (en parallèle)
 - Recherche dans le *kd-Tree* du cluster le plus proche (au sens de la fonction d'erreur)
 - Ajout de i dans le cluster

Clustering

Répartition des points en k clusters : les points sont rangés dans le cluster le plus « proche », considéré au sens de la fonction d'erreur vu précédemment.

- Définition des centres des clusters comme étant les points *seeds*
- Tant qu'il n'y a pas convergence, ou nombre d'itérations est sous le seuil défini :
 - Construction d'un *kd-Tree* à partir de la liste des clusters
 - Pour chaque *shading point* i (en parallèle)
 - Recherche dans le *kd-Tree* du cluster le plus proche (au sens de la fonction d'erreur)
 - Ajout de i dans le cluster
 - Calcul des nouveaux centres des clusters



Détermination des points d'échantillonnage

- Pour chaque *cluster* c (en parallèle)
 - Trouver le *shading point* ayant la plus faible erreur avec le centre de c

Exemple

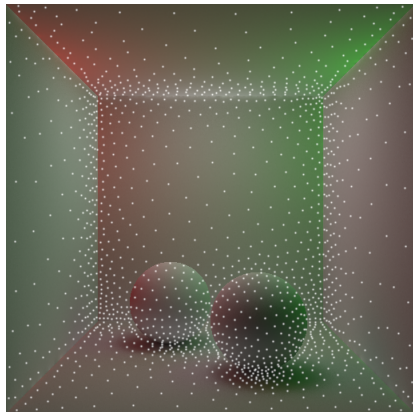
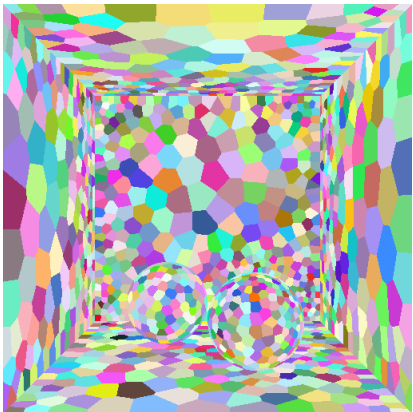
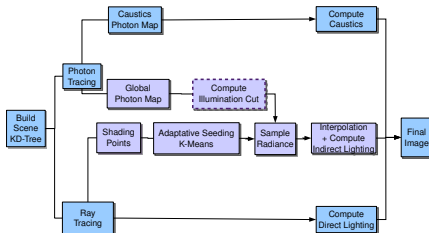


Figure: (a) montre les *clusters* (1600); (b) leur centre

Description



- Pour chaque point-échantillon calculé précédemment, le calcul du champ d'irradiance se fait en lançant 250/500 *final gather rays*.
- Pour chacun de ces *FGR*, il faut parcourir le *kd-Tree* représentant la *Photon map*

Estimation de l'irradiance

Irradiance

$$\tilde{E}_p = \frac{\sum_{i \in p} (\vec{\omega}_i \cdot \vec{n}_p) \Phi_i}{r_p^2}$$

Avec :

\tilde{E}_p = irradiance approximative du noeud p

$\vec{\omega}_i$ = direction incidente du photon

\vec{n}_p = normale au centre de p

Φ_i = puissance du photon

r_p = taille maximale de la boîte englobante de p

⇒ elle peut être calculée lors de la construction du *kd-Tree*



Illumination *Cut*

Parcourt en profondeur de l'arbre, et comparaison des valeurs de

\tilde{E}_p pour chaque noeud, à une référence :

$E_{min} = \text{mean}(\tilde{E}_p), p \in \{\text{niveau}(12-13 \text{ de l'arbre}) \}$



Illumination *Cut*

Parcourt en profondeur de l'arbre, et comparaison des valeurs de \tilde{E}_p pour chaque noeud, à une référence :

$$E_{min} = \text{mean}(\tilde{E}_p), p \in \{\text{niveau}(12-13 \text{ de l'arbre}) \}$$

- Pour chaque noeud p du *kd-Tree* (en parallèle)

Illumination *Cut*

Parcourt en profondeur de l'arbre, et comparaison des valeurs de \tilde{E}_p pour chaque noeud, à une référence :

$E_{min} = \text{mean}(\tilde{E}_p), p \in \{\text{niveau}(12-13 \text{ de l'arbre})\}$

- Pour chaque noeud p du *kd-Tree* (en parallèle)
 - Si $\tilde{E}_p > E_{min}$:
 - p est ajouté au *cut*

Illumination *Cut*

Parcourt en profondeur de l'arbre, et comparaison des valeurs de \tilde{E}_p pour chaque noeud, à une référence :

$E_{min} = \text{mean}(\tilde{E}_p), p \in \{\text{niveau}(12-13 \text{ de l'arbre})\}$

- Pour chaque noeud p du *kd-Tree* (en parallèle)
 - Si $\tilde{E}_p > E_{min}$:
 - p est ajouté au *cut*
- Pour chaque noeud p du *cut* (en parallèle)
 - Calcul de E_p , irradiance exacte au centre du noeud

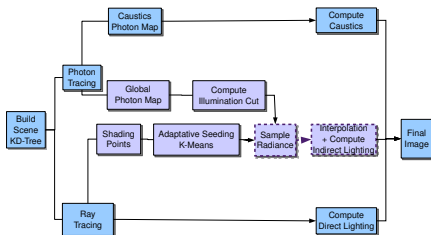
Illumination *Cut*

Parcourt en profondeur de l'arbre, et comparaison des valeurs de \tilde{E}_p pour chaque noeud, à une référence :

$E_{min} = \text{mean}(\tilde{E}_p), p \in \{\text{niveau}(12-13 \text{ de l'arbre})\}$

- Pour chaque noeud p du *kd-Tree* (en parallèle)
 - Si $\tilde{E}_p > E_{min}$:
 - p est ajouté au *cut*
- Pour chaque noeud p du *cut* (en parallèle)
 - Calcul de E_p , irradiance exacte au centre du noeud
 - Si $\|\tilde{E}_p - E_p\| > \delta_E \approx 1.2\tilde{E}_p$:
 - Remplacer p par ses fils dans le *cut*

Résumé de la situation



On dispose de

- Un ensemble de points issus d'un *seeding* et *clustering* de *shading points*. Ils serviront à remplir le cache d'irradiance
- Un *illumination cut*, issu d'une coupe dans le *kd-Tree* contenant la *photon map*. Il servira à calculer l'irradiance pour les points du cache.

Sampling

Soit y un *hit point*. La radiance du *FGR* peut être évaluée à partir d'un ensemble de noeuds p_j avoisinants, par interpolation en utilisant la fonction suivante :

Fonction de poids

$$\omega_j = K\left(\frac{\|p_j - y\|}{r(p_j)}\right) \max(0, n(\vec{p}_j) \cdot \vec{n}_y)$$

Avec :

$\omega_j =$ poids de la radiance issue du noeud p_j

$r(p_j) =$ taille maximale de la boîte englobante de p

et :

$$K(x) = \begin{cases} 1 - x^2 & \text{si } x \leq 1 \\ 0 & \text{sinon} \end{cases}$$



Interpolation

- Pour tous les points *seeds*, lancer des *FGR*, et calculer l'irradiance par interpolation sur l'*illumination cut*, en utilisant la fonction de poids précédemment explicitée.

Interpolation

- Pour tous les points *seeds*, lancer des *FGR*, et calculer l'irradiance par interpolation sur l'*illumination cut*, en utilisant la fonction de poids précédemment explicitée.
- Pour calculer l'irradiance d'un point x quelconque dans la scène, utiliser la formule d'interpolation de l'irradiance à partir du cache ([WRC88]) :

Interpolation

- Pour tous les points *seeds*, lancer des *FGR*, et calculer l'irradiance par interpolation sur l'*illumination cut*, en utilisant la fonction de poids précédemment explicitée.
- Pour calculer l'irradiance d'un point x quelconque dans la scène, utiliser la formule d'interpolation de l'irradiance à partir du cache ([WRC88]) :

$$L(x) = \frac{\sum_{j \in S} \omega_j(x) L(j)}{\sum_{j \in S} \omega_j(x)}$$

et :

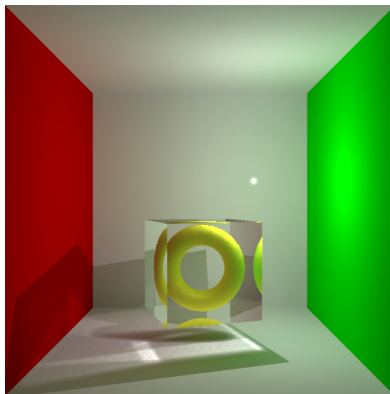
$$\omega_j(x) = \frac{1}{\frac{\|x-j\|}{R_j} + \sqrt{2 - 2(\vec{n}_x \cdot \vec{n}_j)}}$$

où S est un ensemble de points « caches » d'irradiance, R_j est la moyenne harmonique.

Plan

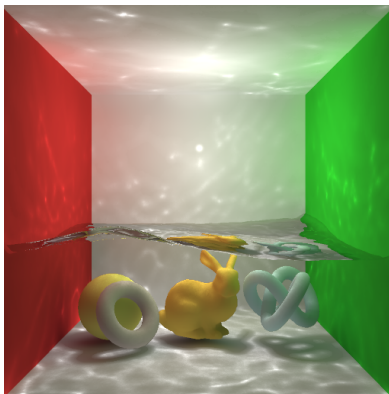
- 1 Introduction
- 2 KD-Tree
 - Principe
 - Construction
 - Construction sur GPU
 - Photon Mapping
 - K-Nearest Neighbor Search
 - Résultats
- 3 Illumination Globale
 - Idée
 - KD-Tree
 - Irradiance Sampling
 - Illumination cut
 - Sample, interpolation et rendering
- 4 Conclusion

Résultats



Scène	Nbre triangles	G/C photons	Seeds	FPS
Box torus	0.6k	239k/100k	1.6k	4.2

Résultats



Scène	Nbre triangles	G/C photons	Seeds	FPS
Box torus	0.6k	239k/100k	1.6k	4.2
Box water	17k	268k/277k	1.8k	2.7

Résultats



Scène	Nbre triangles	G/C photons	Seeds	FPS
Box torus	0.6k	239k/100k	1.6k	4.2
Box water	17k	268k/277k	1.8k	2.7
Kitchen	21k	470k/109k	5k	1.5



Conclusion

- + Vitesse de rendu correcte
- + Rendu correct dans l'ensemble
- + Bonne utilisation du GPU
 - Échantillonnage : il est possible de manquer des détails (petites géométries)
 - Recalcul des points d'échantillonnage à chaque frame : peut introduire des incohérences temporelles
 - Nombreux paramètres « ad-hoc » (mais pas de $\alpha = 0.7$!)

References I



Carsten Dachsbacher and Marc Stamminger.

Reflective shadow maps.

In *13D '05 : Proceedings of the 2005 symposium on Interactive 3D graphics and games*, pages 203–231, New York, NY, USA, 2005. ACM.



Wan. Jensen, Henrik.

Realistic Image Synthesis Using Photon Mapping.
2001.



J.T. Kajiya.

The rendering equation.

In *Proceedings of the 13th annual conference on Computer graphics and interactive techniques*, page 150. ACM, 1986.

References II

-  Alexander. Keller.
Instant radiosity.
Citeseer, 1997.
-  Perumaal. Shanmugam and Okan. Arikan.
Hardware accelerated ambient occlusion techniques on GPUs.
In *Proceedings of the 2007 symposium on Interactive 3D graphics and games*, page 80. ACM, 2007.
-  B. Walter, S. Fernandez, A. Arbre, K. Bala, M. Donikian, and D.P. Greenberg.
Lightcuts : a scalable approach to illumination.
In *ACM SIGGRAPH 2005 Papers*, page 1107. ACM, 2005.

References III



G.J. Ward, F.M. Rubinstein, and R.D. Clear.

A ray tracing solution for diffuse interreflection.

ACM SIGGRAPH Computer Graphics, 22(4) :85–92, 1988.



Rui Wang, Kun Zhou, Minghao Pan, and Hujun Bao.

An efficient gpu-based approach for interactive global illumination.

In *SIGGRAPH '09 : ACM SIGGRAPH 2009 papers*, pages 1–8, New York, NY, USA, 2009. ACM.



Kun Zhou, Qiming Hou, Rui Wang, and Baining Guo.

Real-time kd-tree construction on graphics hardware.

In *SIGGRAPH Asia '08 : ACM SIGGRAPH Asia 2008 papers*, pages 1–11, New York, NY, USA, 2008. ACM.